

# $d(K^-, n)\pi^\mp\Sigma^\mp$ 反応による $\Lambda(1405)$ の研究

井上謙太郎 for the J-PARC E31 Collaboration

$d(K^-, n)\pi^0\Sigma^0$  反応による  $\Lambda(1405)$  の研究

川崎新吾 for the J-PARC E31 Collaboration

$d(K^-, n)\pi\Sigma_{I=0}$  スペクトルの解析

野海博之 for the J-PARC E31 Collaboration

$K^-d$  反応の異なる運動量移行領域での  $\pi^\pm\Sigma^\mp$  不変質量分布

浅野秀光 for the J-PARC E31 Collaboration

# イントロダクション

$\Lambda(1405)$

$S = -1, I = 0, J^P = (\frac{1}{2})^-$

$m = 1405.1^{+1.3}_{-1.1}$  MeV

→  $\bar{K}N$  閾値のすぐ下

$\Gamma = 50.5 \pm 2$  MeV

PDG (R.L. Workman et al.,

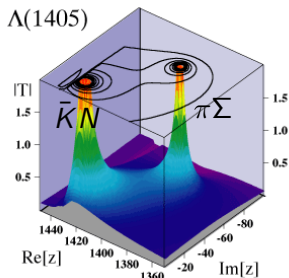
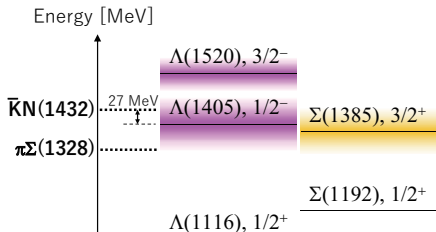
PTEP. 2022, 083C01 (2022))

カイラルユニタリー模型

動力学的状態

2つの極構造

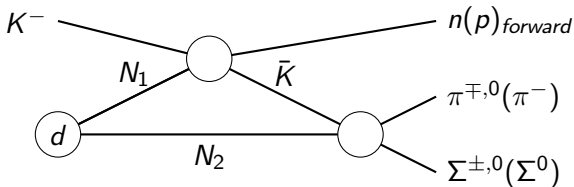
D. Jido et al., Nucl. Phys. A 725(2003)181.



$\bar{K}N$  閾値付近での  $\bar{K}N \rightarrow \pi\Sigma$  散乱データが必要

## 2ステップ反応

$\bar{K}N$  閾値以下での  $\bar{K}N \rightarrow \pi\Sigma$  散乱の直接測定  
 反跳  $\bar{K}$  の運動量  $\sim 250\text{MeV} \Rightarrow$  S 波が支配的



前方 $n$	$\pi^{\mp}\Sigma^{\pm}$	$l = 0, 1$	$\Lambda(1405)$ 、 $\Sigma(1385)$	本講演
前方 $p$	$\pi^{-}\Sigma^{0}$	$l = 1$	$\Sigma(1385)$	
前方 $n$	$\pi^{0}\Sigma^{0}$	$l = 0$	$\Lambda(1405)$	川崎

$l = 0$  の2ステップ、 $K^{-}N_1 \rightarrow \bar{K}N$  前方、 $\bar{K}N_2 \rightarrow \pi\Sigma$  反応の解析 野海

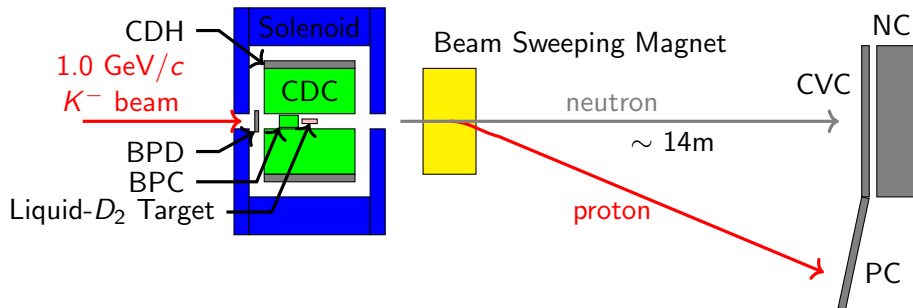
4つすべての  $\pi\Sigma$  モードを測定し  
 アイスピン  $I = 0, 1$  を分離  
 アイスピン関係を確認する。

$$\frac{d^2\sigma_{\pi^0\Sigma^0}}{d\Omega dM} = \frac{1}{2} \left( \frac{d^2\sigma_{\pi^-\Sigma^+}}{d\Omega dM} + \frac{d^2\sigma_{\pi^+\Sigma^-}}{d\Omega dM} - \frac{d^2\sigma_{\pi^0\Sigma^-}}{d\Omega dM} \right)$$

前方 $n$	$\pi^\mp \Sigma^\pm$	$I = 0, 1$	$\Lambda(1405)$ 、 $\Sigma(1385)$	本講演
前方 $p$	$\pi^-\Sigma^0$	$I = 1$	$\Sigma(1385)$	
前方 $n$	$\pi^0\Sigma^0$	$I = 0$	$\Lambda(1405)$	川崎

$I = 0$  の2ステップ、 $K^- N_1 \rightarrow \bar{K} N_{\text{前方}}$ 、 $\bar{K} N_2 \rightarrow \pi\Sigma$  反応の解析 野海

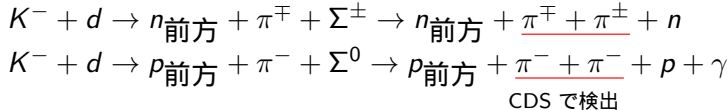
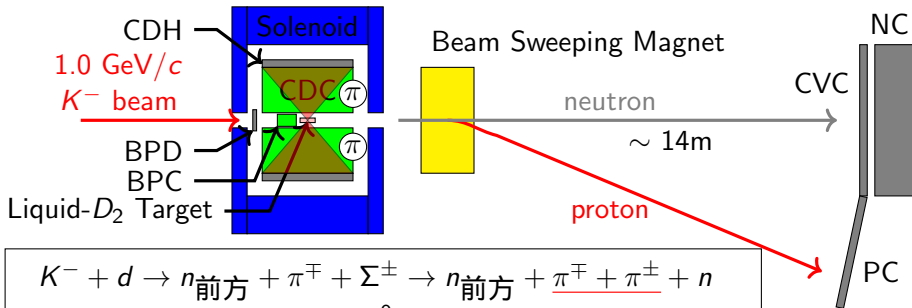
# 実験セットアップ



前方 $n$	$\pi^{\mp}\Sigma^{\pm}$	$l = 0, 1$	$\Lambda(1405)$ 、 $\Sigma(1385)$	本講演
前方 $p$	$\pi^{-}\Sigma^0$	$l = 1$	$\Sigma(1385)$	
前方 $n$	$\pi^0\Sigma^0$	$l = 0$	$\Lambda(1405)$	川崎

$l = 0$  の 2 ステップ、 $K^{-}N_1 \rightarrow \bar{K}N_{\text{前方}}$ 、 $\bar{K}N_2 \rightarrow \pi\Sigma$  反応の解析 野海

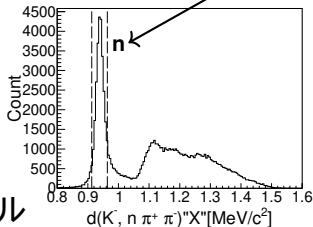
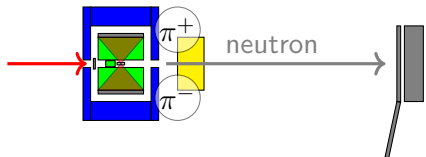
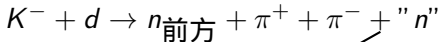
# 実験セットアップ



前方 $n$	$\pi^\mp \Sigma^\pm$	$l = 0, 1$	$\Lambda(1405)$ 、 $\Sigma(1385)$	本講演
前方 $p$	$\pi^- \Sigma^0$	$l = 1$	$\Sigma(1385)$	
前方 $n$	$\pi^0 \Sigma^0$	$l = 0$	$\Lambda(1405)$	川崎

$l = 0$  の 2 ステップ、 $K^- N_1 \rightarrow \bar{K} N_{\text{前方}}$ 、 $\bar{K} N_2 \rightarrow \pi \Sigma$  反応の解析 野海

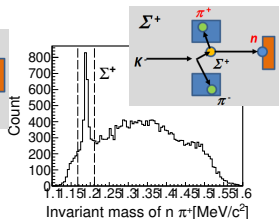
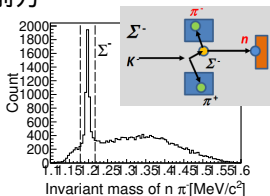
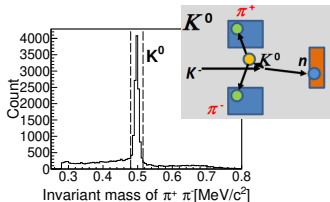
# $d(K^-, n) \pi^\mp \Sigma^\pm$ モードイベントセレクション



1:  $K^- + d \rightarrow n_{\text{前方}} \pi^\mp \Sigma^\pm \Rightarrow$  シグナル

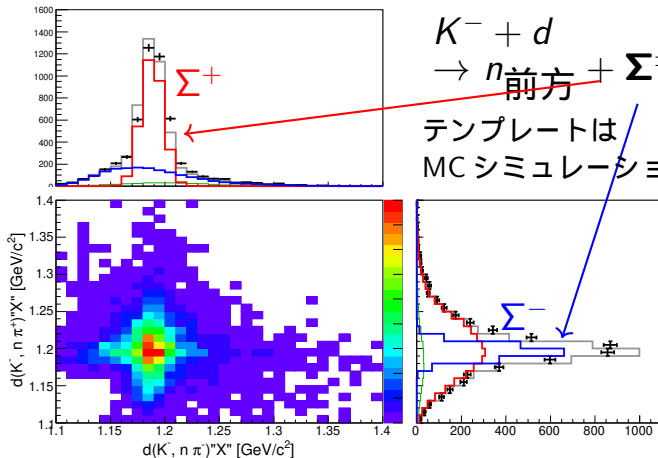
2:  $K^- + d \rightarrow n_{\text{前方}} + K^0 + n$

3:  $K^- + d \rightarrow \Sigma^\pm_{\text{前方}} + \pi^\mp + "n"$



# $\pi^- \Sigma^+$ モードと $\pi^+ \Sigma^-$ モードの分離

$\pi^- \Sigma^+$  モードと  $\pi^+ \Sigma^-$  モードの分離は  
テンプレートフィットで行った。



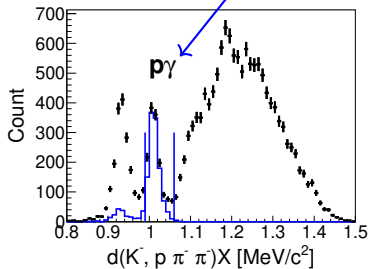
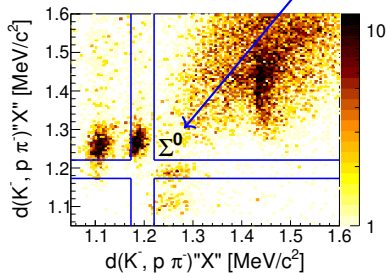
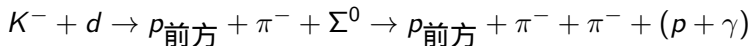
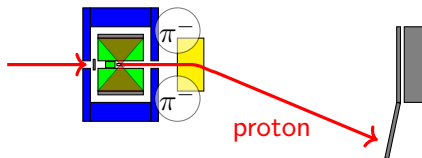
$K^- + d$

$\rightarrow n_{\text{前方}} + \Sigma^\pm + \pi^\mp$

テンプレートは  
MC シミュレーションで作った。

$d(K^-, n) X$  のピン毎のフィットの合計

# $d(K^-, p)\pi^-\Sigma^0$ モードイベントセレクション



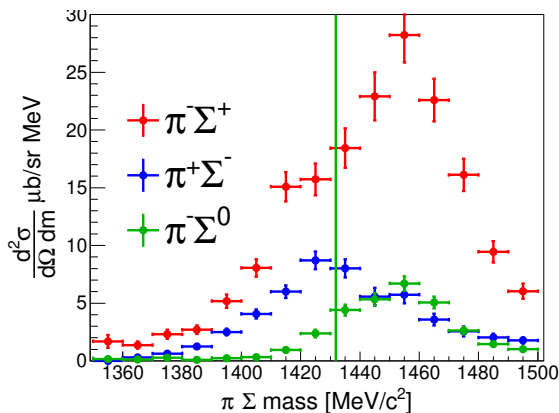
# 得られたスペクトラム

$d(K^-, n) \pi^\mp \Sigma^\pm$  スペクトルに違いが観測された。

$\Rightarrow l=0$  と  $l=1$  の干渉

$d(K^-, n) \pi^\mp \Sigma^\pm$  スペクトルの閾値以下に大きな強度

$\Rightarrow \Lambda(1405)$  の貢献



D. Jido et. al., Eur. Phys. J. A **42**, 257 (2009).

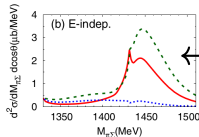
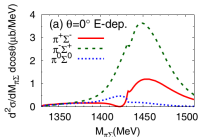
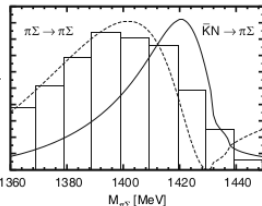
反応

相互作用

2ステップ反応

カイラルユニタリー模型

1ステップ反応



← S. Ohnishi et al, Phys. Rev. C **93**, 025207 (2016).

AGS 方程式

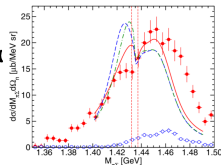
有効カイラルラグランジアン

現象論

K. Miyagawae et al., Phys. ReV. **C97**, 055209 (2018).

ファデーエフ方程式

様々な  $\bar{K}N$  相互作用

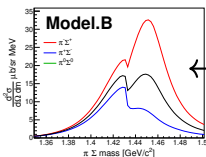
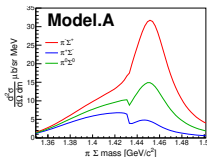


← H. Kamano et al., Phys. ReV. **C94**, 065205 (2016).

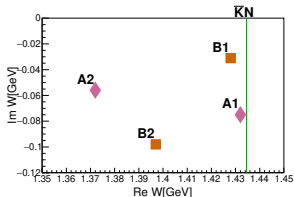
2ステップ反応

ダイナカルチャンネル結合法

1ステップ反応



# ダイナミカルチャンネル結合モデルとの比較

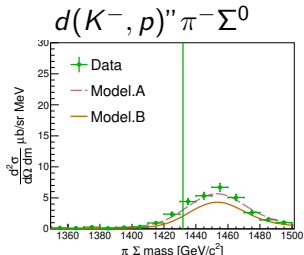
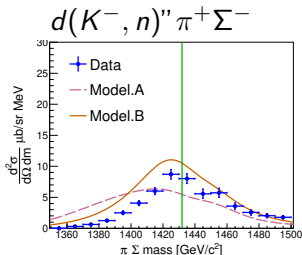
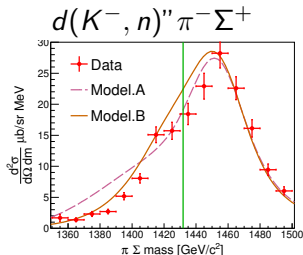


$\bar{K}N$  閾値以下のデータ不足ため2つのモデル

- ・ A1 : 1432 - 75i MeV
- ・ A2 : 1372 - 56i MeV
- ・ B1 : 1428 - 31i MeV
- ・ B2 : 1397 - 98i MeV

⇒ モデル.A は  $\bar{K}N$  の閾値以下に幅の太い構造

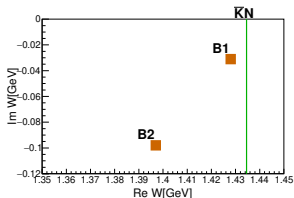
全体的なスペクトルの形はモデル.B が再現



理論計算は分解能を畳み込んでいる

モデル.A  $\chi^2/NDF \sim 109$   
 モデル.B  $\chi^2/NDF \sim 37$

# ダイナミカルチャンネル結合モデルとの比較 (モデル.B)

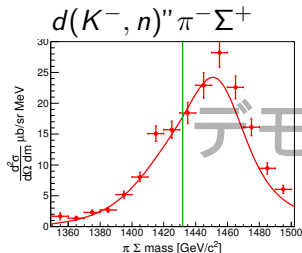


$\bar{K}N$  閾値以下のデータ不足ため2つのモデル

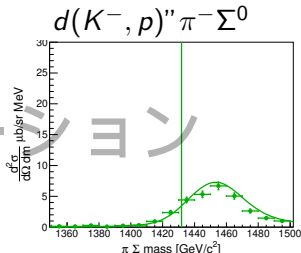
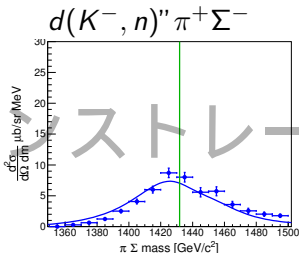
- ・ B1 : 1428 – 31*i* MeV
- ・ B2 : 1397 – 98*i* MeV

$l = 0$ 、 $l = 1$  と干渉項の強度を  
フリーパラメーターとしたフィット

$l = 1$  の強度を強くし  $l = 0$  の強度を弱くし  
干渉項を弱めるように相対位相の調整が必要。



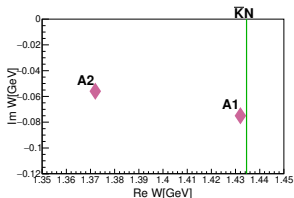
理論計算は分解能を畳み込んでいる



モデル.B  $\chi^2/\text{NDF} \sim 15.4$

- J-PARC E31 実験で  
 $d(K^-, n) \pi^{\mp} \Sigma^{\pm}$ ,  $d(K^-, p) \pi^{-} \Sigma^0$  スペクトルを測定した。
  - $d(K^-, n) \pi^{-} \Sigma^{+}$  と  $d(K^-, n) \pi^{+} \Sigma^{-}$  に違い  
⇒  $l = 0$  と  $l = 1$  の干渉が観測された。
  - $d(K^-, n) \pi^{\mp} \Sigma^{\pm}$  に  $\bar{K}N$  閾値以下に構造  
⇒  $\Lambda(1405)$  の寄与が観測された。
- DCC 模型との比較のデモンストレーションを行った  
⇒ 本データを用いて理論計算の改善を期待

# ダイナミカルチャンネル結合モデルとの比較 (モデル.A)

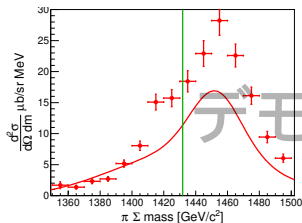


$\bar{K}N$  閾値以下のデータ不足ため2つのモデル

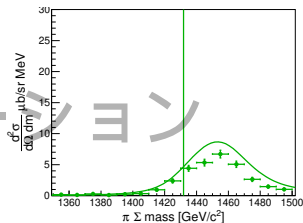
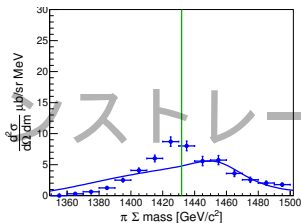
- ・ A1 : 1432 - 75i MeV
- ・ A2 : 1372 - 56i MeV

$l = 0$ 、 $l = 1$  と干渉項の強度を  
フリーパラメーターとしたフィット

$\bar{K}N$  閾値以下の構造のため合わない

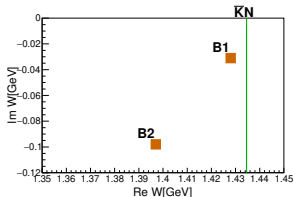


理論計算は分解能を畳み込んでいる



モデル.B  $\chi^2/NDF \sim 53.7$

# ダイナミカルチャンネル結合モデルとの比較 (モデル.B)



$\bar{K}N$  閾値以下のデータ不足ため2つのモデル

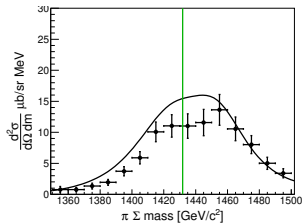
- ・ B1 :  $1428 - 31i$  MeV
- ・ B2 :  $1397 - 98i$  MeV

$l = 1$  の強度は不足

$l = 0$  は閾値以下で超過

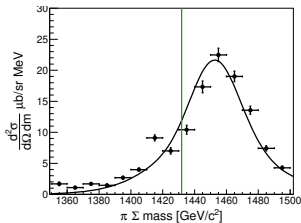
⇒  $l = 1$  の強度を改善する余地

$l = 0$

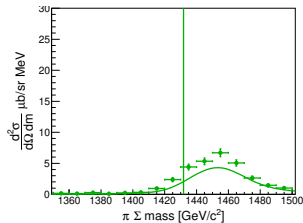


干渉項

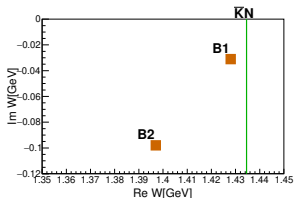
$$\sim \text{Re}(T_{l=0} T_{l=1}^*)$$



$l = 1$



# ダイナミカルチャンネル結合モデルとの比較 (モデル.B)

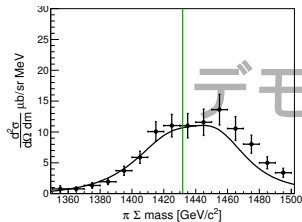


$\bar{K}N$  閾値以下のデータ不足ため2つのモデル

- ・ B1 :  $1428 - 31i$  MeV
- ・ B2 :  $1397 - 98i$  MeV

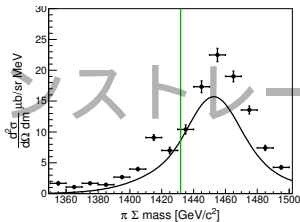
$l = 0$ 、 $l = 1$  と干渉項の強度を  
フリーパラメーターとしたフィット

$l = 0$

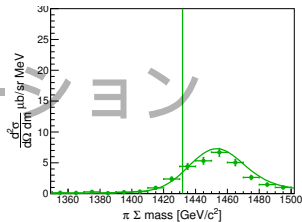


干渉項

$$\sim \text{Re}(T_{l=0} T_{l=1}^*)$$



$l = 1$



デモストレーション